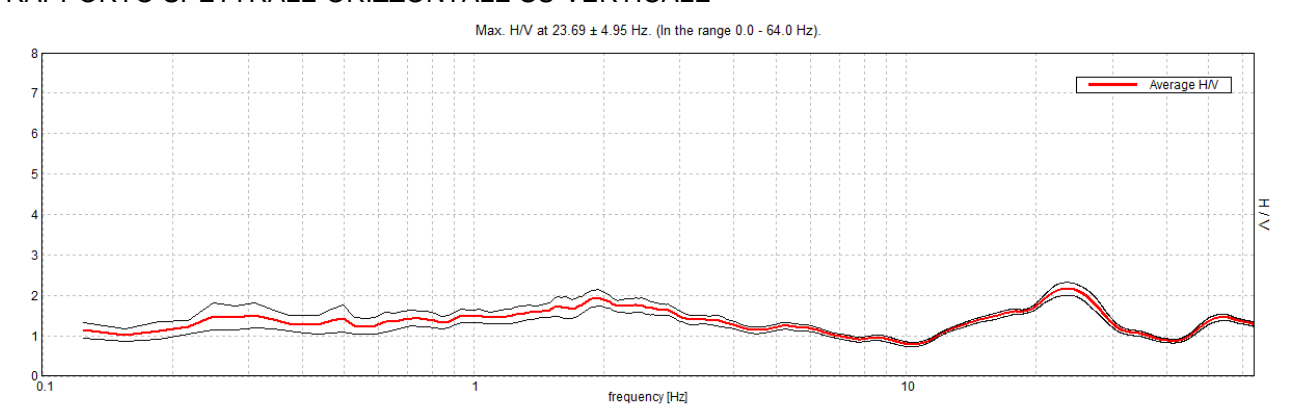
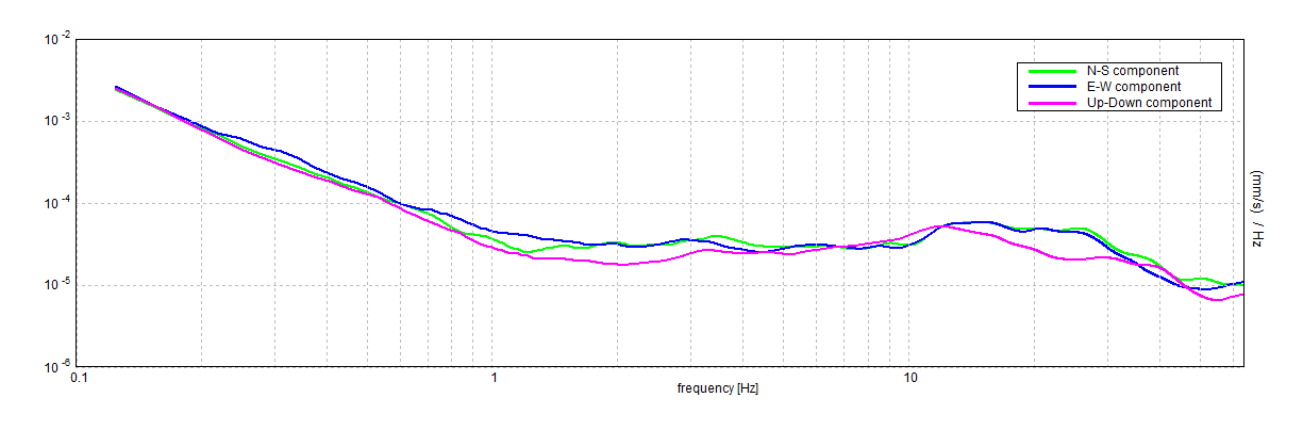
RAPPORTO SPETTRALE ORIZZONTALE SU VERTICALE



SERIE TEMPORALE H/V DIREZIONALITA' H/V ***To a sum of the state of

SPETTRI DELLE SINGOLE COMPONENTI



[Secondo le linee guida SESAME, 2005. Si raccomanda di leggere attentamente il manuale di *Grilla* prima di interpretare la tabella seguente].



Picco H/V a 23.69 ± 4.95 Hz (nell'intervallo 0.0 - 64.0 Hz).

Criteri per una curva H/V affidabile [Tutti 3 dovrebbero risultare soddisfatti]							
$f_0 > 10 / L_w$	23.69 > 0.50	OK					
$n_{c}(f_{0}) > 200$	21792.5 > 200	OK					
$\sigma_A(f) < 2 \text{ per } 0.5f_0 < f < 2f_0 \text{ se } f_0 > 0.5Hz$	Superato 0 volte su 1138	OK					
$\sigma_A(f) < 3 \text{ per } 0.5f_0 < f < 2f_0 \text{ se } f_0 < 0.5\text{Hz}$							
Criteri per un picco H/V chiaro [Almeno 5 su 6 dovrebbero essere soddisfatti]							
Esiste f in $[f_0/4, f_0] A_{H/V}(f) < A_0 / 2$	12.219 Hz	OK					
Esiste f in $[f_0/4, f_0] \mid A_{H/V}(f) < A_0/2$ Esiste f in $[f_0, 4f_0] \mid A_{H/V}(f) < A_0/2$	12.219 Hz 33.031 Hz	OK OK					
Esiste f $^+$ in [f ₀ , 4f ₀] A _{H/V} (f $^+$) < A ₀ / 2	33.031 Hz	OK	NO				
Esiste f ⁺ in $[f_0, 4f_0] \mid A_{H/V}(f^+) < A_0 / 2$ $A_0 > 2$	33.031 Hz 2.16 > 2	OK	NO NO				

L _w	lunghezza della finestra
n_w	numero di finestre usate nell'analisi
$n_c = L_w n_w f_0$	numero di cicli significativi
f	frequenza attuale
f_0	frequenza del picco H/V
σ_{f}	deviazione standard della frequenza del picco H/V
$\varepsilon(f_0)$	valore di soglia per la condizione di stabilità $\sigma_f < \epsilon(f_0)$
A_0	ampiezza della curva H/V alla frequenza f ₀
$A_{H/V}(f)$	ampiezza della curva H/V alla frequenza f
f -	frequenza tra $f_0/4$ e f_0 alla quale $A_{H/V}(f^-) < A_0/2$
f ⁺	frequenza tra f_0 e $4f_0$ alla quale $A_{H/V}(f^+) < A_0/2$
$\sigma_{A}(f)$	deviazione standard di $A_{H/V}(f)$, $\sigma_A(f)$ è il fattore per il quale la curva $A_{H/V}(f)$ media
	deve essere moltiplicata o divisa
$\sigma_{\text{logH/V}}(f)$	deviazione standard della funzione log A _{H/V} (f)
$\theta(f_0)$	valore di soglia per la condizione di stabilità $\sigma_A(f) < \theta(f_0)$

Valori di soglia per σ_f e $\sigma_A(f_0)$							
Intervallo di freq. [Hz]	< 0.2	0.2 - 0.5	0.5 - 1.0	1.0 - 2.0	> 2.0		
$\varepsilon(f_0)$ [Hz]	0.25 f ₀	0.2 f ₀	0.15 f ₀	0.10 f ₀	0.05 f ₀		
$\theta(f_0)$ per $\sigma_A(f_0)$	3.0	2.5	2.0	1.78	1.58		
$\log \theta(f_0) \text{ per } \sigma_{\log H/V}(f_0)$	0.48	0.40	0.30	0.25	0.20		

► RIEPILOGO MODELLO GEOLOGICO, GEOGNOSTICO E SISMICO

All'intervento in progetto, in base alle considerazioni sopra riportate, si assegnano le seguenti classi di fattibilità:

⇒ Realizzazione piscina

- pericolosità geomorfologica G.2 → fattibilità geomorfologica FG2;
- pericolosità idraulica I.1 → fattibilità idraulica FI1.
- pericolosità sismica S.2 → fattibilità sismica FS2



In base all'indagine eseguita è stato possibile individuare la presenza di un primo livello costituito da terreno di riporto il cui spessore, è pari a 0.80 m.

Tale primo strato superficiale è seguito da sabbie scarsamente addensate fino a 3.80 m dal p.c.; da questa profondità, fino alla massima profondità indagata, si trovano sabbie mediamente addensate.

L'indagine sismica ha indicato la presenza del substrato sismico, caratterizzato da valori di Vs pari a 399 m/sec, in affioramento.

